

# Starkniederschlagshöhen und -spenden gemäß KOSTRA-DWD-2020

## Rasterfeld 134194

(Zeile 134, Spalte 194)

### Regenspende und Bemessungsniederschlagswerte in Abhängigkeit von Wiederkehrzeit T und Dauerstufe D

| Dauerstufe D |     | Wiederkehrzeit T |            |      |            |      |            |      |            |       |            |       |            |       |            |       |            |       |            |
|--------------|-----|------------------|------------|------|------------|------|------------|------|------------|-------|------------|-------|------------|-------|------------|-------|------------|-------|------------|
|              |     | 1 a              |            | 2 a  |            | 3 a  |            | 5 a  |            | 10 a  |            | 20 a  |            | 30 a  |            | 50 a  |            | 100 a |            |
| min          | Std | mm               | l / (s ha) | mm   | l / (s ha) | mm   | l / (s ha) | mm   | l / (s ha) | mm    | l / (s ha) | mm    | l / (s ha) | mm    | l / (s ha) | mm    | l / (s ha) | mm    | l / (s ha) |
| 5            |     | 7,1              | 236,7      | 9,0  | 300,0      | 10,2 | 340,0      | 11,8 | 393,3      | 14,0  | 466,7      | 16,4  | 546,7      | 17,9  | 596,7      | 19,9  | 663,3      | 22,8  | 760,0      |
| 10           |     | 9,4              | 156,7      | 11,9 | 198,3      | 13,5 | 225,0      | 15,6 | 260,0      | 18,6  | 310,0      | 21,7  | 361,7      | 23,7  | 395,0      | 26,4  | 440,0      | 30,2  | 503,3      |
| 15           |     | 10,8             | 120,0      | 13,7 | 152,2      | 15,6 | 173,3      | 18,0 | 200,0      | 21,4  | 237,8      | 25,0  | 277,8      | 27,3  | 303,3      | 30,4  | 337,8      | 34,8  | 386,7      |
| 20           |     | 11,8             | 98,3       | 15,0 | 125,0      | 17,0 | 141,7      | 19,7 | 164,2      | 23,5  | 195,8      | 27,4  | 228,3      | 29,9  | 249,2      | 33,3  | 277,5      | 38,1  | 317,5      |
| 30           |     | 13,3             | 73,9       | 17,0 | 94,4       | 19,2 | 106,7      | 22,2 | 123,3      | 26,4  | 146,7      | 30,9  | 171,7      | 33,7  | 187,2      | 37,5  | 208,3      | 42,9  | 238,3      |
| 45           |     | 14,9             | 55,2       | 19,0 | 70,4       | 21,5 | 79,6       | 24,8 | 91,9       | 29,6  | 109,6      | 34,5  | 127,8      | 37,7  | 139,6      | 42,0  | 155,6      | 48,0  | 177,8      |
| 60           | 1   | 16,1             | 44,7       | 20,5 | 56,9       | 23,2 | 64,4       | 26,8 | 74,4       | 31,9  | 88,6       | 37,2  | 103,3      | 40,7  | 113,1      | 45,3  | 125,8      | 51,8  | 143,9      |
| 90           | 1,5 | 17,8             | 33,0       | 22,7 | 42,0       | 25,7 | 47,6       | 29,7 | 55,0       | 35,4  | 65,6       | 41,3  | 76,5       | 45,2  | 83,7       | 50,3  | 93,1       | 57,5  | 106,5      |
| 120          | 2   | 19,2             | 26,7       | 24,4 | 33,9       | 27,7 | 38,5       | 31,9 | 44,3       | 38,1  | 52,9       | 44,4  | 61,7       | 48,6  | 67,5       | 54,0  | 75,0       | 61,8  | 85,8       |
| 180          | 3   | 21,2             | 19,6       | 27,0 | 25,0       | 30,6 | 28,3       | 35,3 | 32,7       | 42,1  | 39,0       | 49,1  | 45,5       | 53,7  | 49,7       | 59,7  | 55,3       | 68,3  | 63,2       |
| 240          | 4   | 22,7             | 15,8       | 28,9 | 20,1       | 32,8 | 22,8       | 37,9 | 26,3       | 45,1  | 31,3       | 52,7  | 36,6       | 57,6  | 40,0       | 64,0  | 44,4       | 73,3  | 50,9       |
| 360          | 6   | 25,1             | 11,6       | 31,9 | 14,8       | 36,2 | 16,8       | 41,7 | 19,3       | 49,8  | 23,1       | 58,1  | 26,9       | 63,5  | 29,4       | 70,6  | 32,7       | 80,8  | 37,4       |
| 540          | 9   | 27,6             | 8,5        | 35,2 | 10,9       | 39,9 | 12,3       | 46,0 | 14,2       | 54,9  | 16,9       | 64,0  | 19,8       | 70,0  | 21,6       | 77,8  | 24,0       | 89,0  | 27,5       |
| 720          | 12  | 29,6             | 6,9        | 37,7 | 8,7        | 42,7 | 9,9        | 49,3 | 11,4       | 58,8  | 13,6       | 68,5  | 15,9       | 74,9  | 17,3       | 83,3  | 19,3       | 95,4  | 22,1       |
| 1080         | 18  | 32,6             | 5,0        | 41,5 | 6,4        | 47,0 | 7,3        | 54,3 | 8,4        | 64,7  | 10,0       | 75,5  | 11,7       | 82,5  | 12,7       | 91,8  | 14,2       | 105,0 | 16,2       |
| 1440         | 24  | 34,9             | 4,0        | 44,4 | 5,1        | 50,3 | 5,8        | 58,1 | 6,7        | 69,3  | 8,0        | 80,8  | 9,4        | 88,4  | 10,2       | 98,3  | 11,4       | 112,4 | 13,0       |
| 2880         | 48  | 41,1             | 2,4        | 52,3 | 3,0        | 59,3 | 3,4        | 68,5 | 4,0        | 81,6  | 4,7        | 95,2  | 5,5        | 104,1 | 6,0        | 115,8 | 6,7        | 132,5 | 7,7        |
| 4320         | 72  | 45,2             | 1,7        | 57,6 | 2,2        | 65,3 | 2,5        | 75,3 | 2,9        | 89,8  | 3,5        | 104,8 | 4,0        | 114,6 | 4,4        | 127,4 | 4,9        | 145,8 | 5,6        |
| 5760         | 96  | 48,4             | 1,4        | 61,7 | 1,8        | 69,9 | 2,0        | 80,6 | 2,3        | 96,2  | 2,8        | 112,2 | 3,2        | 122,7 | 3,6        | 136,4 | 3,9        | 156,1 | 4,5        |
| 7200         | 120 | 51,0             | 1,2        | 65,0 | 1,5        | 73,6 | 1,7        | 85,0 | 2,0        | 101,4 | 2,3        | 118,3 | 2,7        | 129,3 | 3,0        | 143,8 | 3,3        | 164,5 | 3,8        |
| 8640         | 144 | 53,3             | 1,0        | 67,9 | 1,3        | 76,9 | 1,5        | 88,8 | 1,7        | 105,8 | 2,0        | 123,5 | 2,4        | 135,0 | 2,6        | 150,1 | 2,9        | 171,8 | 3,3        |
| 10080        | 168 | 55,3             | 0,9        | 70,4 | 1,2        | 79,7 | 1,3        | 92,0 | 1,5        | 109,8 | 1,8        | 128,0 | 2,1        | 140,0 | 2,3        | 155,7 | 2,6        | 178,1 | 2,9        |

# Starkniederschlagshöhen und -spenden gemäß KOSTRA-DWD-2020

## Rasterfeld 134194

(Zeile 134, Spalte 194)

### Örtliche Unsicherheiten in Abhängigkeit von Wiederkehrzeit T und Dauerstufe D

| Dauerstufe D |     | Wiederkehrzeit T |     |     |     |      |      |      |      |       |
|--------------|-----|------------------|-----|-----|-----|------|------|------|------|-------|
|              |     | 1 a              | 2 a | 3 a | 5 a | 10 a | 20 a | 30 a | 50 a | 100 a |
| min          | Std | ± %              | ± % | ± % | ± % | ± %  | ± %  | ± %  | ± %  | ± %   |
| 5            |     | 11               | 12  | 12  | 12  | 13   | 14   | 14   | 14   | 15    |
| 10           |     | 13               | 15  | 15  | 16  | 17   | 18   | 19   | 19   | 20    |
| 15           |     | 15               | 17  | 18  | 19  | 20   | 21   | 21   | 22   | 22    |
| 20           |     | 16               | 18  | 19  | 20  | 21   | 22   | 23   | 23   | 24    |
| 30           |     | 17               | 19  | 21  | 22  | 23   | 24   | 24   | 25   | 25    |
| 45           |     | 18               | 20  | 21  | 22  | 24   | 25   | 25   | 26   | 26    |
| 60           | 1   | 18               | 20  | 21  | 22  | 24   | 25   | 25   | 26   | 26    |
| 90           | 1,5 | 18               | 20  | 21  | 22  | 24   | 24   | 25   | 25   | 26    |
| 120          | 2   | 17               | 20  | 21  | 22  | 23   | 24   | 25   | 25   | 26    |
| 180          | 3   | 16               | 19  | 20  | 21  | 22   | 23   | 24   | 24   | 25    |
| 240          | 4   | 16               | 18  | 19  | 20  | 22   | 23   | 23   | 24   | 24    |
| 360          | 6   | 15               | 17  | 18  | 20  | 21   | 22   | 22   | 23   | 23    |
| 540          | 9   | 15               | 17  | 18  | 19  | 20   | 21   | 21   | 22   | 22    |
| 720          | 12  | 14               | 16  | 17  | 18  | 19   | 20   | 21   | 21   | 22    |
| 1080         | 18  | 14               | 16  | 17  | 18  | 19   | 19   | 20   | 20   | 21    |
| 1440         | 24  | 14               | 15  | 16  | 17  | 18   | 19   | 19   | 20   | 20    |
| 2880         | 48  | 14               | 15  | 16  | 17  | 18   | 18   | 19   | 19   | 20    |
| 4320         | 72  | 15               | 15  | 16  | 17  | 18   | 18   | 19   | 19   | 19    |
| 5760         | 96  | 15               | 16  | 16  | 17  | 18   | 18   | 19   | 19   | 19    |
| 7200         | 120 | 16               | 16  | 17  | 17  | 18   | 18   | 19   | 19   | 19    |
| 8640         | 144 | 16               | 16  | 17  | 17  | 18   | 18   | 19   | 19   | 19    |
| 10080        | 168 | 17               | 17  | 17  | 17  | 18   | 18   | 19   | 19   | 19    |

### Parameter für abweichende T und D

#### Lokationsparameter $\xi$ (Xi)

16,50553862

#### Skalenparameter $\alpha$ (Alpha)

6,27683374

#### Formparameter $\kappa$ (Kappa)

-0,1

#### 1. Koutsoyiannis-Parameter $\theta$ (Theta)

0,03413423

#### 2. Koutsoyiannis-Parameter $\eta$ (Eta)

0,76400041

Parameter für dauerstufenübergreifende Extremwertschätzung nach KOUTSOYIANNIS et al. 1998.

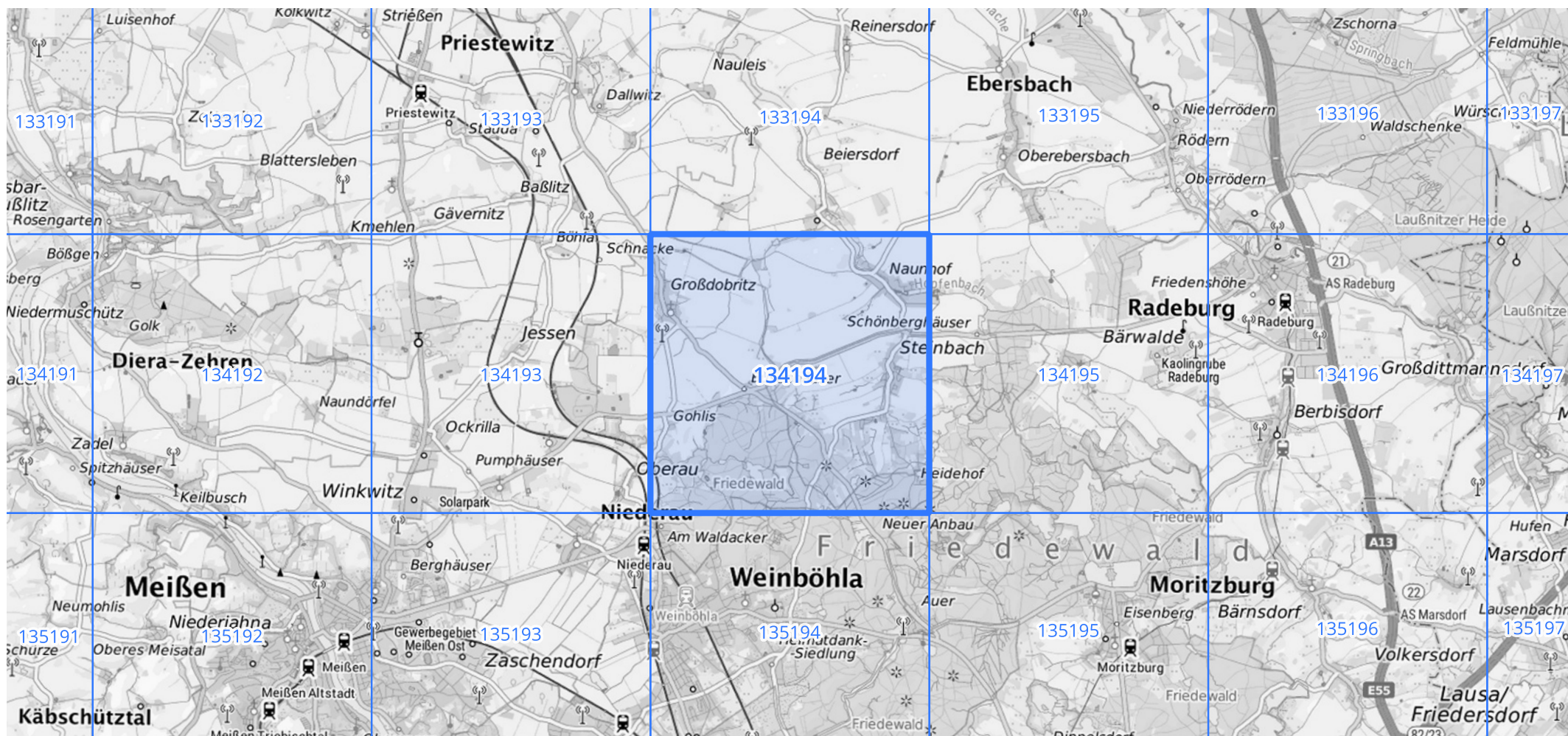
Siehe auch Anwendungshilfe zu KOSTRA-DWD-2020 des Deutschen Wetterdienstes.

# Starkniederschlagshöhen und -spenden gemäß KOSTRA-DWD-2020

## Rasterfeld 134194

(Zeile 134, Spalte 194)

Übersichtskarte des Rasterfeldes 134194, M 1 : 100 000



Quelle Rasterdaten: KOSTRA-DWD-2020 des Deutschen Wetterdienstes, Stand 12/2022.

Seite 3 von 3

Kartendarstellung: © Bundesamt für Kartographie und Geodäsie (2023), Datenquellen: [https://sgx.geodatenzentrum.de/web\\_public/gdz/datenquellen/Datenquellen\\_TopPlusOpen.html](https://sgx.geodatenzentrum.de/web_public/gdz/datenquellen/Datenquellen_TopPlusOpen.html)

Für die Richtigkeit und Aktualität der Angaben wird keine Gewähr übernommen. Erstellt 01/2023.